

Термограмма сплавления фтористого кальция с 10% закиси урана.

эффект при температуре 1446° С связан с разложением закиси-окиси урана до двуокиси и соответствует максимальной температуре существования шестивалентного урана в расплаве фтористого кальция. (Правда, указанное значение несколько превышает температуру разложения закиси-окиси урана при пониженном давлении [2].)

При охлаждении на воздухе расплава фтористого кальция с примесями различных соединений урана окисление последних до флюоресцирующей формы происходит с поверхности полученного слитка на глубину нескольких миллиметров.

Для выяснения источника окисления урана до шестивалентного состояния были проведены

опыты в атмосфере аргона со сливом жидкого фторидного шлака в воду и в водные растворы различных кислот и солей, а также в ванну с четыреххлористым углеродом. После обработки гранулированного шлака раствором азотной кислоты содержание урана в первом случае составило 0,3%, а во втором — 0,04%.

Таким образом, при грануляции шлаков кальциетермического восстановления тетрафторида урана путем слива в ванну с водой или водными растворами кислот и солей уран окисляется до шестивалентного состояния и образует флюоресцирующие твердые растворы с фтористым кальцием, содержащие примерно 0,3% урана, который не может быть извлечен из шлака без разрушения кристаллической решетки фтористого кальция.

Флюоресцирующие свойства некоторых соединений шестивалентного урана (например, солей ураната, относящихся к безактиваторным люминофорам [3]) давно известны и используются для определения малых количеств урана.

В настоящей работе показано, что твердые растворы шестивалентного урана во фтористом кальции образуются при грануляции уранодержащего фторидного шлака в водных средах. Аналогичный процесс происходит при прокалке на воздухе механических смесей фтористого кальция с различными соединениями урана.

Поступила в Редакцию 22/I 1968 г.
В окончательной редакции 13/VI 1968 г.

ЛИТЕРАТУРА

- Грейнджер. Материалы Международной конференции по мирному использованию атомной энергии (Женева, 1955). Т. 8. М., Металлургиздат, 1958, стр. 183.
- Ч. Харрингтон, А. Рюэле. Технология производства урана. М., Госатомиздат, 1961.
- А. В. Москвин. Катодолюминесценция. Т. 1. М.—Л., ОГИЗ, 1948.

Влияние холодной деформации, температуры и продолжительности отжига на термическое расширение сплава циркония с 2,5 % ниобия

И. С. ЛУПАКОВ, Ю. С. КУЗЬМИЧЕВ, Б. С. РОДЧЕНКОВ

Свойства сплавов циркония с 2,5% ниобия (механические и коррозионные) в значительной степени зависят от их структуры. Поэтому были разработаны методы и режимы обработки,

УДК 620.181:669.296

обеспечивающие получение требуемого комплекса свойств: отжиг в α -области (в интервале температур 500—580° С) [1—3], холодная деформация [4—7], отжиг в $\alpha + \beta$ -области [8],

закалка из β - и $\alpha + \beta$ -областей с последующим старением в α -области [9—11] и др. Однако некоторые характеристики сплава, например коэффициент линейного расширения, не изучались или определялись в ограниченном объеме.

Знание коэффициента линейного расширения необходимо, в частности, при определении термической стойкости изделий из сплавов циркония и живучести соединений этих сплавов с другими металлами в условиях теплосмен, а также представляет интерес для обнаружения и изучения структурных изменений в сплаве.

Цель настоящей работы — изучение влияния различной степени холодной деформации (30 и 50 %), а также температуры (400, 500 и 560° С) и продолжительности (3—14 ч) последующего отжига на коэффициент линейного расширения сплава циркония с 2,5 % ниобия в интервале температур 20—500° С.

Образцы изготавливались из трубы диаметром 36 мм, полученной методом горячего прессования. Вырезанные заготовки подвергали холодной деформации (на 30 и 50 %) на лабораторном прокатном стане. Образцы отжигали по соответствующему режиму в вакууме $\sim (5—6) \cdot 10^{-4}$ мм ст. и на дифференциальном дилатометре ти-дилатометра Шевенара снимали дилатометрические кривые, по которым рассчитывали средний и истинный коэффициенты линейного расширения исследуемого сплава. Нагрев образца эталона проводили со скоростью $\sim 3^\circ\text{C}/\text{мин}$. Средний коэффициент линейного расширения определяли по формуле

$$\alpha_{cp} = \frac{\Delta L}{L \Delta T},$$

где ΔL — изменение длины образца при нагреве на ΔT , т. е. от 20° С до температуры T ; L — исходная длина образца. Истинный коэффициент линейного расширения вычисляли по формуле

$$\alpha_{ист} = \alpha_{эт} - \frac{dy}{dx} (\alpha_{эт} - \alpha_{KB}),$$

где $\alpha_{эт}$ — истинный коэффициент линейного расширения эталона («пироса»); α_{KB} — истинный коэффициент линейного расширения толкателей из кварца; dy/dx — тангенс угла наклона дилатометрической кривой (определялся графически). Полученные в настоящей работе результаты представлены на рис. 1—3 и в таб-

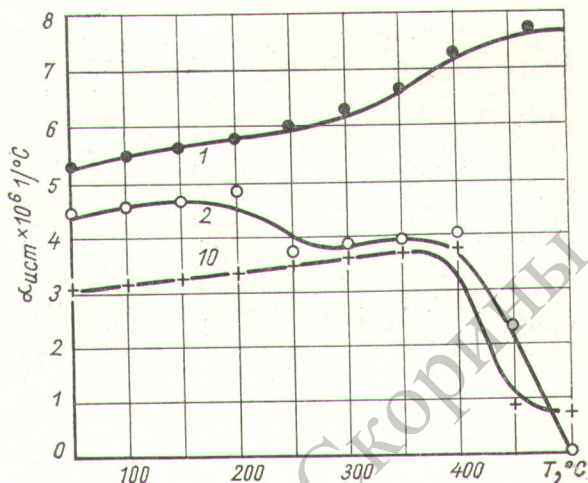


Рис. 1. Влияние холодной деформации на истинный коэффициент линейного расширения горячепрессованного и отожженного при 700° С сплава циркония с 2,5 % ниобия:

1 — исходный образец; 2 — холодная деформация на 30%; 10 — холодная деформация на 50%.

Из таблицы следует, что средний коэффициент линейного расширения исследуемого сплава в нагартованном, а также нагартованном и затем отожженном состояниях гораздо меньше, чем в исходном (горячее прессование и отжиг при 700° С в течение 1 ч). Однако сравнение термического расширения различно обработанных образцов, по-видимому, лучше проводить с учетом истинных коэффициентов линейного расширения, отражающих более точно процессы, происходящие в сплаве при незначительных изменениях температуры. Это можно видеть на приведенных в качестве примера рис. 1 и 2.

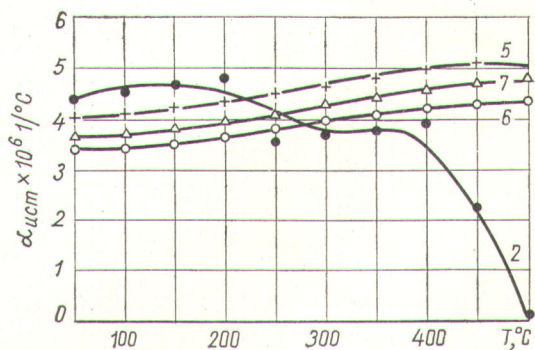


Рис. 2. Влияние отжига при 500° С на истинный коэффициент линейного расширения холоднодеформированного сплава со степенью деформации 30%:

2 — холодная деформация; 5 — отжиг в теч. 3 ч; 6 — отжиг в теч. 8 ч; 7 — отжиг в теч. 14 ч.



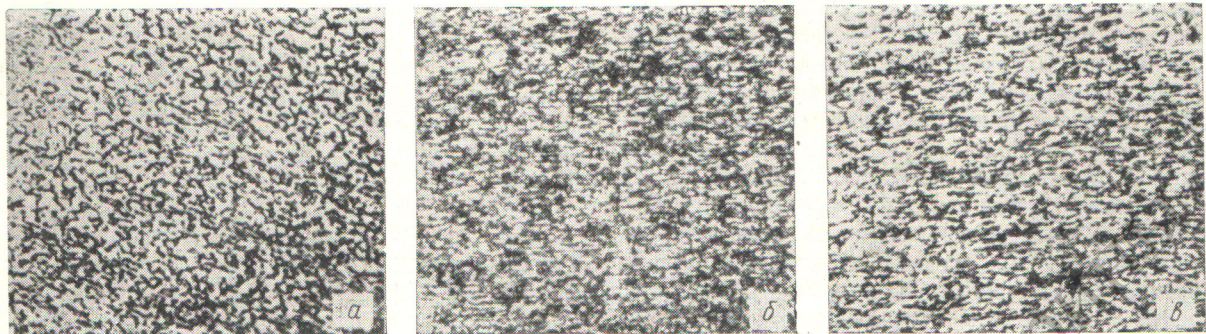


Рис. 3. Микроструктуры сплава циркония с 2,5% ниобием:

а — отжиг при температуре 700° С в течение 1 ч; б — отжиг при 700° С в течение 1 ч + холодная деформация на 30%; в — холодная деформация на 30% + отжиг при 400° С в течение 8 ч.

Холодная деформация отожженного при 700° С сплава (см. рис. 1) приводит к снижению его истинного коэффициента линейного расширения при всех исследуемых температурах, причем это снижение зависит от степени деформации и температуры испытания. В интервале температур 20—200° С холодная деформация на 30% весьма мало изменяет $\alpha_{ист}$, в то время как деформация на 50% снижает его более

Средний коэффициент линейного расширения деформированных и отожженных образцов

Номер образца	Состояние образца			α_{cp} ($10^{-6}/^{\circ}\text{C}$) при нагреве от 20° С до температур ($^{\circ}\text{C}$)				
	Степень холодной деформации, %	Температура отжига, °С	Время выдержки при отжиге, ч	100	200	300	400	500
1 *	—	—	—	6,6	6,0	6,4	6,6	6,8
2	30	—	—	5,7	4,4	4,2	4,3	4
3	30	560	3	6,3	5,05	4,95	4,8	5,1
4	30	560	8	5,4	4,4	4,1	4,1	4,3
14	30	560	14	6,3	5,36	5,16	5,22	5,18
5	30	500	3	6,0	5,2	5,05	4,8	—
6	30	500	8	5,7	4,76	4,4	4,26	4,35
7	30	500	14	5,68	4,57	4,3	4,4	4,48
8	30	400	3	6,0	5,2	5,05	4,9	4,6
9	30	400	8	6,3	5,35	5,26	6,64	4,98
15	30	400	14	6,63	4,48	4,95	4,82	4,99
10	50	—	—	5,7	4,4	4,2	4,2	3,9
11	50	500	3	6,1	5,1	5,0	4,8	4,7
12	50	500	8	6,0	5,2	5,05	4,9	5,05
13	50	500	14	6,0	4,7	4,6	4,65	—

* Исходное состояние материала: горячепрессованный и отожженный при 700° С в течение 1 ч.

заметно. В интервале температур 250—400° С $\alpha_{ист}$ после холодной деформации на 30 и 50% практически одинаковы, при более высоких температурах резко уменьшаются.

Отжиг после холодной деформации приводит к изменению истинного коэффициента линейного расширения сплава, причем характер и абсолютные величины этих изменений зависят как от температуры и времени отжига, так и от предшествующей деформации. После холодной деформации на 30% отжиг при 400° С в течение 3 ч незначительно уменьшает $\alpha_{ист}$ в интервале температур 20—200° С и заметно увеличивает при температурах выше 200° С (особенно при температуре $\sim 500^{\circ}\text{C}$). Увеличение времени отжига (до 8 ч) при этой температуре практически не изменяет $\alpha_{ист}$ в интервале 20—400° С, но заметно повышает его при более высоких температурах. После 14 ч отжига при 400° С $\alpha_{ист}$ исследуемого сплава монотонно возрастает с повышением температуры во всем исследуемом интервале, но по абсолютным величинам мало отличается от полученного после отжига в течение 8 ч. Отжиг при 500 и 560° С в течение 3 ч после холодной деформации на 30% приводит к практически таким же значениям $\alpha_{ист}$ во всем интервале исследуемых температур, как после отжига при 400° С в течение 14 ч. Увеличение времени отжига до 8 ч и далее до 14 ч при этих температурах не вызывает существенных изменений коэффициента линейного расширения (см. рис. 2).

Отжиг после холодной деформации на 50% (при 500° С в течение 8—14 ч) приводит к увеличению $\alpha_{ист}$ во всем исследованном интервале температур. Наблюдаемое для холоднодеформированного состояния резкое падение $\alpha_{ист}$ при температурах выше 400° С практически исче-

зает уже после ~ 3 ч отжига при этой температуре.

Известно, что холодная деформация чистых металлов и однофазных сплавов в стабильном состоянии, как правило, снижает их коэффициент линейного расширения по сравнению с изменившимся в отожженном состоянии [12], при этом сохраняется характер зависимости коэффициента линейного расширения от температуры (монотонное повышение с ростом температуры). В холоднодеформированных гетерофазных и метастабильных сплавах характер изменения коэффициента линейного расширения с повышением температуры будет, по-видимому, несколько другим, чем в отожженных, поскольку деформация инициирует и облегчает процессы перераспределения легирующих элементов и связанные с ними изменения фазового состава. Сплав циркония с 2,5% ниобия в отожженном состоянии (в $\alpha + \beta$ -области) по фазовому составу является смесью двух твердых растворов: твердого раствора Nb в Zr (α_{Zr}) и твердого раствора Zr в Nb (β_{Nb}) [13]. Заметное различие предельных растворимостей легирующих элементов в твердых растворах при уменьшении температуры дает основание предположить при определенных условиях возможность их перераспределения и соответствующего изменения относительного количества выделений имеющихся фаз.

Наблюдаемое в настоящей работе уменьшение истинного коэффициента линейного расширения сплава после холодной деформации в интервале температур 20—400° С (с сохранением монотонно возрастающей зависимости от температуры, характерной для отожженного состояния) может быть объяснено так же, как и для чистого циркония [4], увеличением степени текстурообразности материала. Резкое же падение $\alpha_{\text{ист}}$ при температурах выше 400° С является, очевидно, результатом протекания процессов перераспределения ниобия и соответствующего изменения количества выделений богатой ниобием второй фазы. Появление большого количества дефектов кристаллической решетки (смещенных атомов, вакансий, дислокаций) и их скоплений) после холодной деформации создает легкие пути диффузии, и она начинает играть заметную роль уже при весьма незначительных выдержках при температурах выше 400° С. Во время нагрева и выдержки при этих температурах происходит, по-видимому, растворение выделений богатой ниобием второй фазы (β_{Nb}) и обогащение α -твердого раствора циркония ниобием, что и приводит

к резкому уменьшению $\alpha_{\text{ист}}$ в данном интервале температур. Эти процессы являются, по-видимому, ответственными за наблюдаемый характер изменения истинного коэффициента линейного расширения в зависимости от температуры и времени отжига, проводимого после холодной деформации.

Результаты металлографического анализа, проведенного на образцах-свидетелях, подтверждают наличие структурных изменений. На рис. 3 достаточно четко отражены изменения количества выделений богатой ниобием второй фазы (β_{Nb}) в зависимости от режима обработки.

На основе полученных результатов можно сделать следующие выводы:

1) холодная деформация сплава циркония с 2,5% ниобия приводит к снижению коэффициента линейного расширения, особенно при температуре выше 400° С;

2) отжиг в α -области (400—560° С) после холодной деформации вызывает повышение коэффициента линейного расширения сплава, однако его абсолютная величина остается все-таки более низкой, чем после отжига в $\alpha + \beta$ -области во всем исследованном интервале температур;

3) характер изменений истинного коэффициента линейного расширения холоднодеформированного сплава в процессе отжига в α -области (400—560° С) свидетельствует о происходящих в нем структурных изменениях.

Поступила в Редакцию 22/XII 1967 г.
В окончательной редакции 18/III 1968 г.

ЛИТЕРАТУРА

1. K. Anderko et al. Z. Metallkunde, 53, 503 (1962).
2. H. Klepfer. J. Nucl. Materials, 9, 65 (1963).
3. K. Anderko et al. Патент № 1207096, ФРГ, 1961.
4. И. С. Лупаков и др. «Атомная энергия», 24, 91 (1968).
5. И. С. Лупаков и др. «Атомная энергия», 20, 330 (1966).
6. B. Cox. Report UK AERE-R4459, 1963.
7. B. Watkins, R. Cocadaу. TRG-Report 998(c), 1965.
8. A. A. Киселев и др. In: «Corrosion of Reactor Materials». Vol. 2. Vienna, IAEA, 1962, p. 67.
9. D. Lees. Corros. Sci., 5, 565 (1965).
10. S. Dolgardo. См. [8], стр. 159.
11. C. Ellis et al. Доклад № 22, представленный Канадой на Третью международную конференцию по мирному использованию атомной энергии (Женева, 1964).
12. Физические свойства сталей и сплавов, применяемых в энергетике. М., «Энергия», 1967.
13. W. Jung-König, H. Richter. См. [11], доклад № 477 (ФРГ).
14. K. Adensteat. Trans. ASM, 44, 949 (1967).